

УДК 539.3

ЧИСЛЕННОЕ МОДЕЛИРОВАНИЕ УСТОЙЧИВОСТИ НАГРУЖЕННЫХ ОБОЛОЧЕК ВРАЩЕНИЯ ПРИ ВНУТРЕННЕМ ТЕЧЕНИИ ЖИДКОСТИ

С. А. Бочкарев, В. П. Матвеев

Институт механики сплошных сред УрО РАН, 614013 Пермь
E-mails: bochkarev@icmm.ru, mvp@icmm.ru

Для исследования динамического поведения нагруженных оболочек вращения, содержащих неподвижную или текущую сжимаемую жидкость, предложен смешанный конечно-элементный алгоритм. Поведение жидкости описывается потенциальной теорией, уравнения которой сводятся к интегральному виду с помощью метода Галеркина. Динамика оболочки анализируется с использованием вариационного принципа возможных перемещений, в который включается линеаризованное уравнение Бернулли для вычисления гидродинамического давления, действующего со стороны жидкости на оболочку. Решение задачи сводится к вычислению и анализу собственных значений связанной системы уравнений. В качестве примера исследовано влияние гидростатического давления на динамическое поведение оболочек вращения при различных граничных условиях в случае внутреннего течения жидкости.

Ключевые слова: теория оболочек, сжимаемая жидкость, потенциальная теория, дивергенция, флаттер.

Введение. При значительной скорости потока жидкости может происходить статическая (дивергенция) или динамическая (флаттер) потеря устойчивости системы труба — жидкость. В свою очередь статическая нагрузка (осевое растяжение (сжатие) или гидростатическое (внешнее) давление) также может приводить к статической потере устойчивости упругого тонкостенного тела. Поэтому совместное влияние гидродинамической и статической нагрузок может оказывать стабилизирующее или дестабилизирующее влияние на рассматриваемую систему, повышая или понижая критические скорости потока жидкости.

В теоретических исследованиях (аналитических и численных) упругая труба моделируется как круговая балка [1], оболочка вращения [2–5] или трехмерное тело [6]. Для описания внутреннего потока жидкости используется потенциальная теория [2–5] или уравнения Эйлера [6].

Широкие возможности для моделирования динамики поведения системы труба — подвижная жидкость с точки зрения выбора возможного аппарата, используемого для описания упругого тела и потока жидкости, предоставляет метод конечных элементов [4–6]. Однако количество теоретических работ, посвященных изучению влияния статической нагрузки на динамические характеристики систем труба — подвижная жидкость, невелико. В [5] учтено влияние осевого сжатия и гидростатического давления. В рамках потенциальной теории для давления текущей несжимаемой жидкости методом разделения переменных получено аналитическое выражение, а входящие в него характеристические показатели определены из системы уравнений теории оболочек Сандерса, записанных в форме уравнений Ламе. В [6] исследуется влияние гидростатического давления в рамках

конечно-элементного алгоритма, в котором цилиндрическая оболочка описывается трехмерной теорией упругости, а гидродинамическое давление определяется из уравнений Эйлера с динамическими граничными условиями, учитывающими течение жидкости.

В данной работе для исследования влияния статической нагрузки на динамические характеристики системы труба — подвижная жидкость предлагается смешанный конечно-элементный алгоритм. В этом алгоритме система уравнений для жидкости, полученная в результате применения метода Галеркина к уравнениям потенциальной теории, объединяется с системой уравнений для оболочки, полученных на основе принципа возможных перемещений. Предварительное напряженное состояние определяется из решения статической задачи.

1. Постановка задачи. Уравнения движения оболочек вращения. Рассматривается упругая оболочка вращения длиной L и толщиной h с наименьшим радиусом R . Внутри оболочки находится идеальная сжимаемая жидкость, которая течет со скоростью U . На оболочку действует гидростатическое давление жидкости p . Необходимо найти такую скорость потока, при которой невозмущенная форма предварительно нагруженной оболочки теряет устойчивость.

В рамках классической теории оболочек, основанной на гипотезах Кирхгофа — Лява, компоненты вектора деформации в криволинейной системе координат (α_1, α_2, z) могут быть записаны следующим образом [7]:

$$\varepsilon_{11} = E_{11} + zk_{11}, \quad \varepsilon_{22} = E_{22} + zk_{22}, \quad \varepsilon_{12} = E_{12} + zk_{12}. \quad (1)$$

Здесь

$$\begin{aligned} E_{11} &= \varepsilon_1 + (\varepsilon_1^2 + \omega_1^2 + \theta_1^2)/2, & E_{12} &= \omega_1 + \omega_2 + \varepsilon_1\omega_2 + \varepsilon_2\omega_1 + \theta_1\theta_2, \\ k_{11} &= k_1 + \varepsilon_1k_1 + \omega_1\tau, & k_{12} &= 2\tau + \tau(\varepsilon_1 + \varepsilon_2) + \omega_1k_1 + \omega_2k_2; \\ \varepsilon_1 &= u' + \psi_1v + r_1w, & \omega_1 &= v' + \psi_1u, & \theta_1 &= w' - r_1u, & k_1 &= \theta_1' + \psi_1\theta_2, & \tau &= t_1 + t_2, \\ t_1 &= \theta_2' + \psi_1\theta_1, & (\cdot)' &= \frac{1}{A_1} \frac{\partial(\cdot)}{\partial\alpha_1}, & r_1 &= \frac{1}{R_1} \quad (1 \rightleftharpoons 2), & \psi_1 &= 0, & \psi_2 &= \frac{A_2'}{A_2}, \end{aligned} \quad (2)$$

u, v, w — меридиональная, окружная и нормальная составляющие вектора перемещений; θ_i — углы поворота недеформируемой нормали; R_i — главные радиусы кривизны; A_i — параметры Ламе; запись $1 \rightleftharpoons 2$ подразумевает наличие уравнений и соотношений, которые получаются из предыдущих заменой индекса 1 на 2, а индекса 2 на 1.

Компоненты деформаций оболочки (2) можно представить в матричной форме:

$$\varepsilon = \varepsilon_* + Ee/2. \quad (3)$$

Здесь $\varepsilon = \{E_{11}, E_{22}, E_{12}, k_{11}, k_{22}, k_{12}\}^T$; $\varepsilon_* = \{\varepsilon_1, \varepsilon_2, \omega_1 + \omega_2, k_1, k_2, 2\tau\}^T$ — линейная часть деформации; $e = \{\varepsilon_1, \varepsilon_2, \omega_1, \omega_2, \theta_1, \theta_2, k_1, k_2, \tau\}^T$; E — матрица линейных множителей.

Соотношения упругости также можно записать в матричном виде:

$$T = \{T_{11}, T_{22}, T_{12}, M_{11}, M_{22}, M_{12}\}^T = D\varepsilon. \quad (4)$$

Здесь T — вектор усилий и моментов; D — матрица жесткостей. Матрицы E и D имеют вид

$$E = \begin{bmatrix} \varepsilon_1 & 0 & \omega_1 & 0 & \theta_1 & 0 & 0 & 0 & 0 \\ 0 & \varepsilon_2 & 0 & \omega_2 & 0 & \theta_2 & 0 & 0 & 0 \\ \omega_2 & \omega_1 & \varepsilon_2 & \varepsilon_1 & \theta_2 & \theta_1 & 0 & 0 & 0 \\ k_1 & 0 & \tau & 0 & 0 & 0 & \varepsilon_1 & 0 & \omega_1 \\ 0 & k_2 & 0 & \tau & 0 & 0 & 0 & \varepsilon_2 & \omega_2 \\ \tau & \tau & k_1 & k_2 & 0 & 0 & \omega_1 & \omega_2 & \varepsilon_1 + \varepsilon_2 \end{bmatrix}, \quad D = \begin{bmatrix} a_{11} & a_{12} & 0 & b_{11} & b_{12} & 0 \\ a_{12} & a_{22} & 0 & b_{12} & b_{22} & 0 \\ 0 & 0 & a_{44} & 0 & 0 & b_{44} \\ b_{11} & b_{12} & 0 & c_{11} & c_{12} & 0 \\ b_{12} & b_{22} & 0 & c_{12} & c_{22} & 0 \\ 0 & 0 & b_{44} & 0 & 0 & c_{44} \end{bmatrix}.$$

Коэффициенты, входящие в матрицу жесткостей D , определяются следующим образом:

$$(a_{ij}, b_{ij}, c_{ij}) = \int_h (1, z, z^2) B_{ij} dz \quad (i, j = 1, 2, 4)$$

(B_{ij} — известные коэффициенты, входящие в закон Гука для изотропного материала).

Для математической формулировки задачи используется принцип возможных перемещений, дополненный работой сил инерции, который может быть записан в матричной форме:

$$\int_S \delta \varepsilon^T T dS + \int_V \delta d^T \rho_m \ddot{d} dV - \int_S \delta d^T P dS = 0. \quad (5)$$

Здесь ε , T , d , P — векторы обобщенных деформаций, обобщенных усилий и моментов, перемещений, поверхностных нагрузок соответственно; ρ_m — удельная плотность материала оболочки.

Рассмотрим начальное равновесное состояние, определяемое вектором перемещения d^0 , вектором деформации ε^0 и т. д. Величины, характеризующие состояние с малым отклонением от положения равновесия, можно представить в виде $d = d^0 + d^1$ и т. д. Тогда с учетом (3), (4) и предположения о линейности начального равновесного состояния векторы деформации, вариаций деформаций, усилий и моментов записываются следующим образом:

$$\begin{aligned} \varepsilon &= \varepsilon_*^0 + \varepsilon_*^1 + E^0 e^1 + E^1 e^1 / 2, \\ \delta \varepsilon &= \delta \varepsilon_*^1 + E^0 \delta e^1 + E^1 \delta e^1, \quad T = T^0 + T^1 + T^2, \\ T^0 &= D \varepsilon_*^0, \quad T^1 = D(\varepsilon_*^1 + E^0 e^1), \quad T^2 = DE^1 e^1 / 2. \end{aligned} \quad (6)$$

Подставив соотношения (6) в (5) с учетом равновесности начального состояния и опуская члены третьего и четвертого порядка малости, после несложных преобразований получим условие равновесия состояния, близкого к начальному:

$$\begin{aligned} \int_S \delta(\varepsilon_*^1)^T D \varepsilon_*^1 dS + \int_V \delta(d^1)^T \rho_m \ddot{d}^1 dV - \int_S \delta(d^1)^T P^1 dS + \int_S \delta(e^1)^T \sigma_0 e^1 dS + \\ + \int_S \delta(\varepsilon_*^1)^T DE^0 e^1 dS + \int_S \delta(e^1)^T DE^0 \varepsilon_*^1 dS = 0. \end{aligned} \quad (7)$$

Здесь матрица σ_0 , элементы которой находятся из условия $(E^1)^T D \varepsilon_*^0 = \sigma_0 e^1$ (вектор ε_*^0 является решением соответствующей статической задачи), записывается следующим образом:

$$\sigma_0 = \begin{bmatrix} T_{11} & 0 & 0 & T_{12} & 0 & 0 & M_{11} & 0 & M_{12} \\ 0 & T_{22} & T_{12} & 0 & 0 & 0 & 0 & M_{22} & M_{12} \\ 0 & T_{12} & T_{11} & 0 & 0 & 0 & M_{12} & 0 & M_{11} \\ T_{12} & 0 & 0 & T_{22} & 0 & 0 & 0 & M_{12} & M_{22} \\ 0 & 0 & 0 & 0 & T_{11} & T_{12} & 0 & 0 & 0 \\ 0 & 0 & 0 & 0 & T_{12} & T_{22} & 0 & 0 & 0 \\ M_{11} & 0 & M_{12} & 0 & 0 & 0 & 0 & 0 & 0 \\ 0 & M_{22} & 0 & M_{12} & 0 & 0 & 0 & 0 & 0 \\ M_{12} & M_{12} & M_{11} & M_{22} & 0 & 0 & 0 & 0 & 0 \end{bmatrix}.$$

В представленных ниже примерах два последних интеграла в (7) не учитываются, что соответствует гипотезе напряженного недеформированного состояния.

2. Уравнения движения жидкости и численная реализация задачи. Движение идеальной сжимаемой жидкости, находящейся внутри оболочки и занимающей объем V_f , в случае потенциального течения описывается волновым уравнением, которое в цилиндрических координатах (r, θ, x) записывается в виде [8]

$$\nabla^2 \phi = \frac{\partial^2 \phi}{\partial r^2} + \frac{1}{r^2} \frac{\partial^2 \phi}{\partial \theta^2} + \frac{\partial^2 \phi}{\partial x^2} + \frac{1}{r} \frac{\partial \phi}{\partial r} = \frac{1}{c^2} \left(\frac{\partial}{\partial t} + U \frac{\partial}{\partial x} \right)^2 \phi \quad (8)$$

(ϕ — потенциал возмущений скорости; c — скорость звука в жидкости). Давление жидкости P_f на упругую конструкцию ($S_\sigma = S_f \cap S_s$) вычисляется по линеаризованной формуле Бернулли

$$P_f = p - \rho_f \left(\frac{\partial \phi}{\partial t} + U \frac{\partial \phi}{\partial x} \right). \quad (9)$$

Здесь ρ_f — удельная плотность жидкости; s — меридиональная координата оболочки; S_f , S_s — площади поверхностей, ограничивающих объемы жидкости и оболочки соответственно. На поверхности раздела оболочка — жидкость S_σ задается условие непроницаемости

$$\frac{\partial \phi}{\partial n} = \frac{\partial w}{\partial t} + U \frac{\partial w}{\partial s}, \quad (10)$$

где n — нормаль к поверхности. Потенциал возмущений скорости на входе в оболочку и выходе из нее подчиняется следующим граничным условиям:

$$x = 0: \quad \phi = 0, \quad x = L: \quad \frac{\partial \phi}{\partial x} = 0. \quad (11)$$

Применение метода Галеркина к уравнению в частных производных для потенциала возмущения скорости (8) с граничными условиями (10), (11) позволяет получить интегральное соотношение [9]

$$\begin{aligned} & \sum_{l=1}^{m_\phi} \left[\int_{V_f} \left(\frac{\partial F_l}{\partial r} \frac{\partial F_k}{\partial r} + \frac{1}{r^2} \frac{\partial F_l}{\partial \theta} \frac{\partial F_k}{\partial \theta} + (1 - M^2) \frac{\partial F_l}{\partial x} \frac{\partial F_k}{\partial x} \right) dV \right] \phi_{al} + \\ & + \sum_{l=1}^{m_\phi} \left(\int_{V_f} \frac{2U}{c^2} \frac{\partial F_l}{\partial x} F_k dV \right) \dot{\phi}_{al} + \sum_{l=1}^{m_\phi} \left(\int_{V_f} \frac{1}{c^2} F_l F_k dV \right) \ddot{\phi}_{al} - \\ & - \sum_{i=1}^{m_s} \left(\int_{S_\sigma} N_i^w F_k dS \right) \dot{w}_{ai} - \sum_{i=1}^{m_s} \left(\int_{S_\sigma} U \frac{\partial N_i^w}{\partial s} F_k dS \right) w_{ai} = 0, \quad k = 1, m_\phi. \end{aligned}$$

Здесь m_ϕ , m_s — число конечных элементов, на которые разбиваются области, занятые жидкостью (V_f) и оболочкой (V_s); ϕ_{al} , w_{ai} — узловые значения для жидкости и оболочки; $M = U/c$ — число Маха; F , N_i^w — функции формы для потенциала возмущений скорости и нормальной составляющей вектора перемещения.

Полученное уравнение можно представить в матричном виде

$$(K_\phi - A_\phi^c) \phi_a + M_\phi \ddot{\phi}_a - C_\phi^c \dot{\phi}_a - C_\phi w_a - A_\phi w_a = 0, \quad (12)$$

где

$$K_\phi = \sum_{m_\phi} \int_{V_f} \left(\frac{\partial F^T}{\partial r} \frac{\partial F}{\partial r} + \frac{1}{r^2} \frac{\partial F^T}{\partial \theta} \frac{\partial F}{\partial \theta} + \frac{\partial F^T}{\partial x} \frac{\partial F}{\partial x} \right) dV, \quad M_\phi = \sum_{m_\phi} \int_{V_f} \frac{1}{c^2} F^T F dV,$$

$$C_\phi = \sum_{m_s} \int_{S_\sigma} F^T N_w dS, \quad C_\phi^c = - \sum_{m_\phi} \int_{V_f} \frac{2U}{c^2} \frac{\partial F^T}{\partial x} F dV,$$

$$A_\phi = \sum_{m_s} \int_{S_\sigma} U F^T \frac{\partial N_w}{\partial s} dS, \quad A_\phi^c = \sum_{m_\phi} \int_{V_f} M^2 \frac{\partial F^T}{\partial s} \frac{\partial F}{\partial s} dV.$$

Используя для (7) с учетом (9) стандартные процедуры метода конечных элементов, получим следующее матричное соотношение:

$$(K_s + K_g)d + M_s \ddot{d} + \rho_f C_\phi^T \dot{\phi}_a + \rho_f A_s \phi_a = 0. \quad (13)$$

Здесь $K_s = \sum_{m_s} \int_{S_s} B^T D B dS$; B — матрица связи вектора деформаций ε_* с вектором

узловых перемещений конечного элемента оболочки; $K_g = \sum_{m_s} \int_{S_s} G^T \sigma_0 G dS$ — матрица

геометрической жесткости; G — матрица связи деформаций e с вектором узловых перемещений; $M_s = \sum_{m_s} \int_{V_s} N^T \rho_m N dV$; N — матрица функций формы элемента оболочки;

$$A_s = \sum_{m_s} \int_{S_\sigma} U N_w^T \frac{\partial F}{\partial s} dS.$$

Исследование динамики поведения нагруженных оболочек вращения при внутреннем течении жидкости сводится к совместному решению двух систем уравнений (12) и (13). Объединенная система уравнений может быть записана в виде

$$K \begin{Bmatrix} d \\ \phi_a \end{Bmatrix} + M \begin{Bmatrix} \ddot{d} \\ \ddot{\phi}_a \end{Bmatrix} + \rho_f C \begin{Bmatrix} \dot{d} \\ \dot{\phi}_a \end{Bmatrix} + \rho_f A \begin{Bmatrix} d \\ \phi_a \end{Bmatrix} = 0,$$

где K — матрица жесткости; M — матрица масс; C — матрица демпфирования; A — матрица аэродинамической жесткости:

$$K = \begin{bmatrix} K_s + K_g & 0 \\ 0 & -\rho_f K_\phi \end{bmatrix}, \quad M = \begin{bmatrix} M_s & 0 \\ 0 & -\rho_f M_\phi \end{bmatrix},$$

$$C = \begin{bmatrix} 0 & C_\phi^T \\ C_\phi & C_\phi^c \end{bmatrix}, \quad A = \begin{bmatrix} 0 & A_s \\ A_\phi & A_\phi^c \end{bmatrix}.$$

Представляя выражения для возмущенного движения оболочки и жидкости в виде

$$d = q \exp(i^* \lambda t), \quad \phi_a = \phi \exp(i^* \lambda t),$$

где q, ϕ — некоторые функции координат; $i^* = \sqrt{-1}$; $\lambda = \lambda_1 + i^* \lambda_2$ — характеристический показатель, окончательно получим

$$(K - \lambda^2 M + i^* \lambda \rho_f C + \rho_f A) \begin{Bmatrix} q \\ \phi \end{Bmatrix} = 0. \quad (14)$$

Решение задачи о динамическом поведении нагруженных оболочек вращения, заполненных жидкостью, сводится к вычислению и анализу собственных значений λ системы (14). Для неподвижной жидкости ($A = C_\phi^c = 0$) собственные значения системы (14) являются действительными. При скорости потока $U > 0$ собственные значения системы (14) в зависимости от граничных условий для оболочки являются комплексными или

действительными. При достижении в системе оболочка — жидкость некоторых критических значений скорости потока в зависимости от граничных условий для оболочки возможны два типа потери устойчивости: статический (дивергенция) и динамический (флаттер). Неустойчивость первого типа характеризуется появлением у одного из собственных значений нулевой действительной части λ_1 . Неустойчивость второго типа проявляется в “слиянии” двух форм колебаний и появлении отрицательной мнимой части λ_2 у одного из собственных значений.

Для вычисления комплексных собственных значений системы (14) используется метод Мюллера (метод парабол) [10].

Для численной реализации поставленной задачи применяется полуаналитический вариант метода конечных элементов, основанный на представлении решения в виде ряда Фурье по окружной координате θ . В этом случае исходная двумерная задача сводится к совокупности одномерных задач для каждой из гармоник ряда Фурье.

Для оболочки использован конечный элемент в виде усеченного конуса с аппроксимацией меридиональной и окружной компонент вектора перемещений линейным полиномом, а нормальной компоненты — кубическим полиномом. Для жидкости использовался треугольный конечный элемент с линейной аппроксимацией потенциала возмущений скорости.

В расчетах использовались 40 элементов для оболочки и 25 элементов (по радиусу) для жидкости, т. е. общее число степеней свободы равно 718 (без учета граничных условий).

3. Примеры численной реализации. Рассматриваются собственные колебания конической оболочки (модуль упругости $E = 6,77 \cdot 10^{10}$ Н/м², коэффициент Пуассона $\nu = 0,29$, $\rho_m = 2648$ кг/м³, $R = 0,15$ м, $L = 0,56$ м, $h = 5,3 \cdot 10^{-4}$ м, угол конусности равен 15°), жестко закрепленной с обоих торцов и заполненной неподвижной жидкостью. В таблице представлены низшие собственные частоты колебаний f_0 для различных номеров гармоник j . Результаты, полученные в данной работе, хорошо согласуются как с численными, так и с экспериментальными результатами (с погрешностью не более 2,5 %) работ [11, 12].

Рассмотрим резиновую цилиндрическую оболочку, жестко закрепленную с двух торцов ($u = v = w = \partial w / \partial s = 0$), внутри которой движется поток газа, рассматриваемый как несжимаемая среда. Расчеты выполнялись при $L/R = 25,9$, $h/R = 0,0227$, $\rho_f / \rho_m = 0,00136$, $j = 2$, $\nu = 0,5$. На рис. 1 представлена зависимость первых четырех безразмерных частот $\omega = \lambda / U_0$ от безразмерной скорости потока $\Lambda = U / U_0$, где $U_0 = \{E / [\rho_m(1 - \nu^2)]\}^{1/2} = 36,73$.

При достижении скорости потока $\Lambda_D = 0,601$ происходит статическая потеря устойчивости (дивергенция), а при $\Lambda_F = 0,625$ возникает флаттер. При еще больших скоростях имеет место дивергенция для третьей и четвертой форм колебаний. Результаты расчетов, полученные в данной работе, хорошо согласуются с результатами расчетов в работе [13], где используется четыре члена разложения Галеркина, только для первых трех частот.

В ряде работ исследовано динамическое поведение цилиндрических оболочек вращения при внутреннем течении жидкости для различных граничных условий с учетом гидростатического давления жидкости. Обнаружено, что в случае двустороннего свободного опирания [2] или защемления [3] потеря устойчивости происходит в виде дивергенции, а в случае оболочки, защемленной на торце, в который втекает поток, и свободной на другом, — в виде флаттера с одной степенью свободы [3]. Кроме того, в работах [14, 15] обсуждается возможность аэродинамического демпфирования на докритических скоростях при несимметричном закреплении оболочек.

В настоящей работе также выполнены расчеты для цилиндрической оболочки при несимметричных граничных условиях, в частности для оболочки, свободно опертой на одном торце ($v = w = 0$ при $x = 0$) и жестко закрепленной на другом. При этом параметры

Собственные частоты колебаний конической оболочки, заполненной несжимаемой жидкостью, при различных значениях гидростатического давления

j	f_0 , Гц			
	Результаты расчетов в данной работе	Результаты расчетов [11]	Результаты расчетов [12]	Экспериментальные данные [12]
$p = 0$				
3	100,86	96,34	101,0	100,0
4	78,70	75,50	78,7	76,0
5	63,55	61,07	63,6	—
6	54,23	53,22	54,4	—
7	50,52	50,12	50,8	51,0
8	52,24	52,14	52,8	54,0
9	58,20	58,21	—	—
$p = 0,1$ атм				
3	101,48	96,95	101,8	100,6
4	80,70	77,50	80,9	80,0
5	68,38	66,41	68,5	70,0
6	63,62	62,42	63,7	65,2
7	65,52	64,62	65,5	67,0
8	72,47	71,57	72,4	74,4
9	82,51	81,52	—	—
$p = 0,3$ атм				
3	102,70	98,14	103,0	101,0
4	84,53	81,33	84,7	83,7
5	77,08	75,03	77,2	79,0
6	78,97	77,44	78,8	80,7
7	87,73	86,18	87,3	89,2
8	100,61	98,82	99,7	102,8
9	115,60	113,60	—	—
$p = 0,5$ атм				
3	103,90	99,31	104,3	101,0
4	88,18	84,97	88,4	87,0
5	84,85	82,70	84,9	86,0
6	91,61	89,79	91,3	93,0
7	104,94	102,90	104,1	106,5
8	121,72	119,33	120,3	123,5
9	140,35	137,63	—	—

имели следующие значения: $\nu = 0,3$, $L = 6,7$, $\mu = \rho_f R / (\rho_m h) = 3,21$, $k = h^2 / (12R^2) = 1,51 \cdot 10^{-7}$, $P = pR / (Eh) = 5,2 \cdot 10^{-6}$.

На рис. 2 представлены зависимости первых двух безразмерных частот $\omega = \lambda R / U_0$ ($\omega_1 = \text{Re}(\omega)$, $\omega_2 = \text{Im}(\omega)$, $U_0 = (E / \rho_m)^{1/2}$) от безразмерной скорости $\Lambda = U / U_0$ при $j = 6$. Действительные части собственных значений, полученные в данной работе, хорошо согласуются с результатами расчетов [14]. В [14] при несимметричных граничных условиях установлено наличие аэродинамического демпфирования (в докритической области $\omega_2 \neq 0$). Результаты настоящей работы не подтверждают наличие аэродинамического демпфирования в диапазоне докритических скоростей при рассмотренных симметричных и несимметричных граничных условиях.

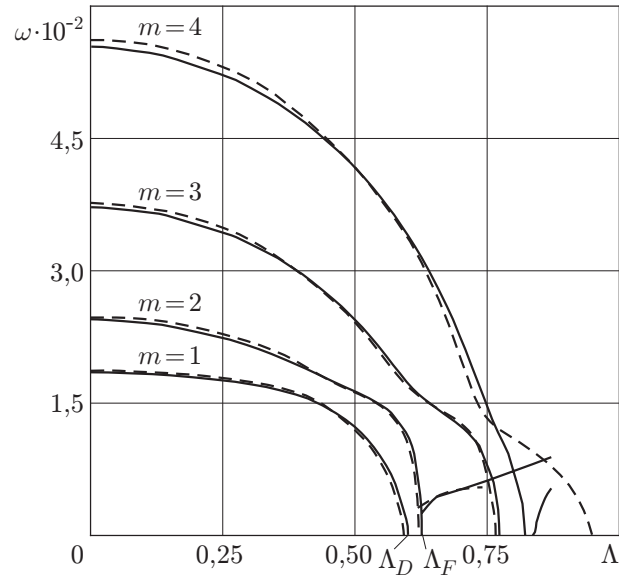


Рис. 1. Зависимость безразмерных собственных значений ω от безразмерной скорости потока воздуха Λ для резиновой оболочки, жестко закрепленной с двух торцов: сплошные линии — результаты расчетов в данной работе; штриховые — результаты расчетов [13]

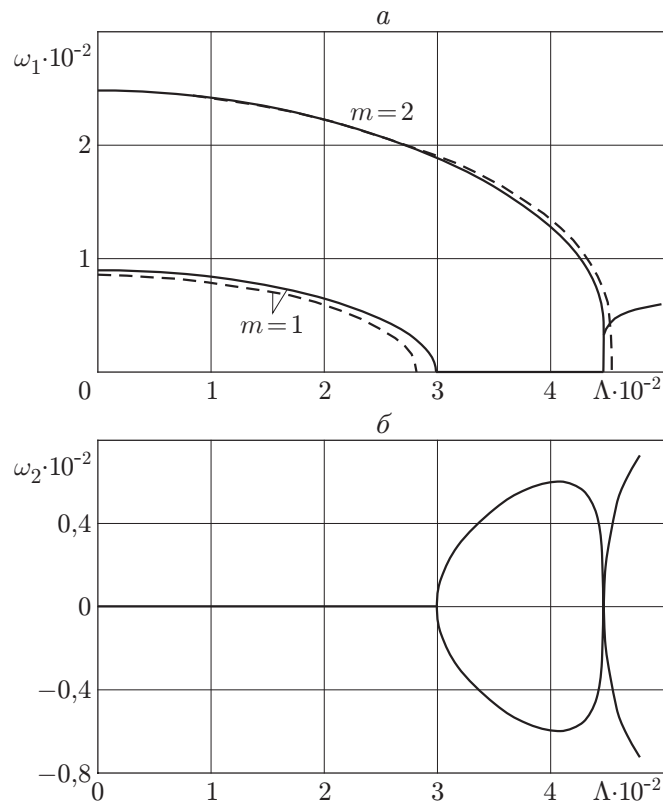


Рис. 2. Зависимости действительной (а) и мнимой (б) частей первых двух безразмерных собственных значений от безразмерной скорости жидкости Λ для цилиндрической оболочки, свободно опертой на одном торце и жестко закрепленной на другом: сплошные линии — результаты расчетов в данной работе; штриховые — результаты расчетов [14]

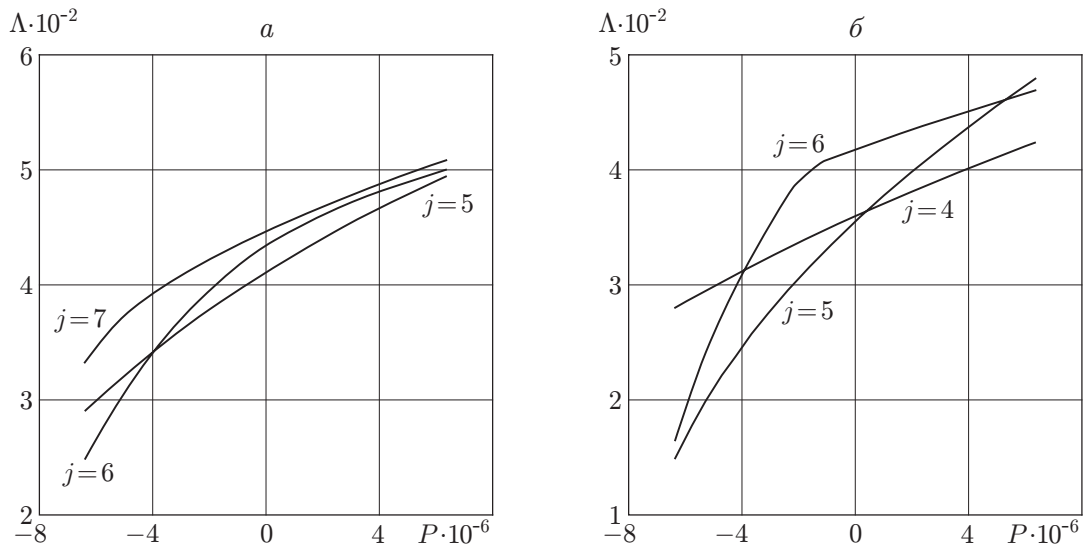


Рис. 3. Зависимость безразмерной критической скорости дивергенции Λ от безразмерного статического давления P :
 а — оболочка, свободно опертая на одном торце и жестко закрепленная на другом; б — оболочка, свободно опертая на обоих торцах

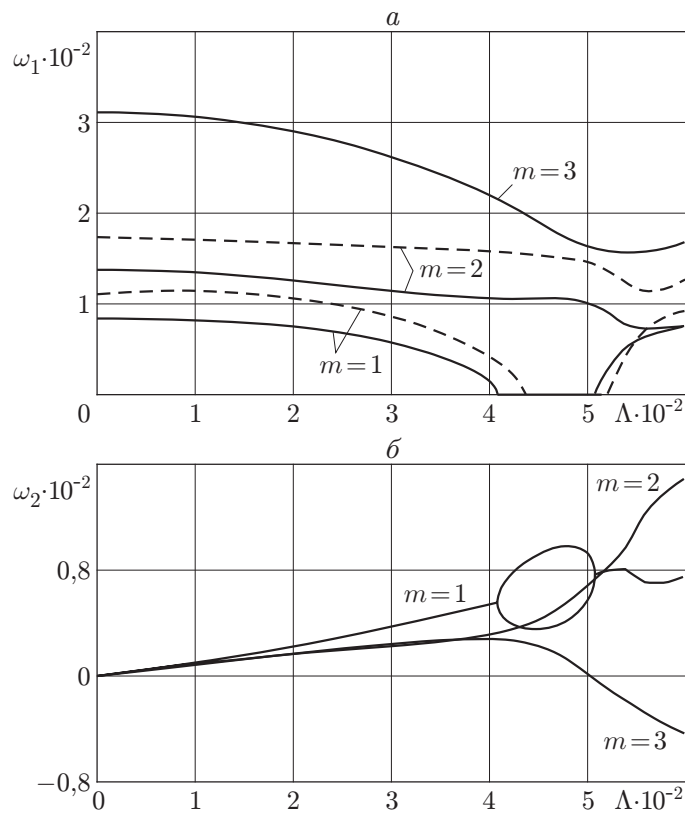


Рис. 4. Зависимости действительной (а) и мнимой (б) частей первых трех безразмерных собственных значений от безразмерной скорости жидкости Λ для цилиндрической оболочки, жестко закрепленной на одном торце и свободной на другом:
 сплошные линии — результаты расчетов в данной работе; штриховые — результаты расчетов [14]

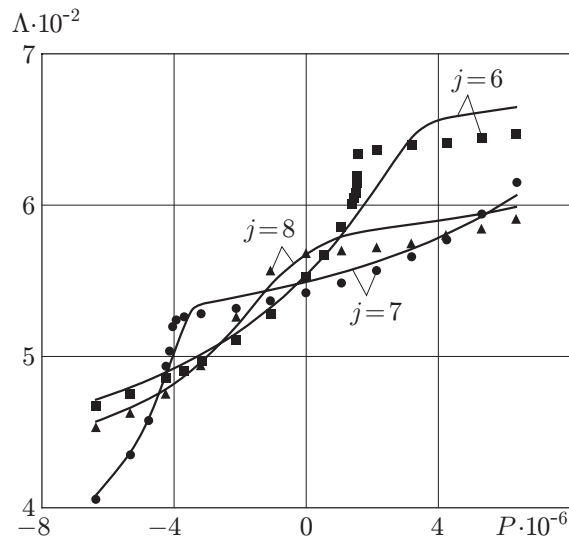


Рис. 5. Зависимость безразмерной критической скорости флаттера Λ от безразмерного статического давления P для оболочки, жестко закрепленной на одном торце и свободной на другом:

сплошные линии — несжимаемый газ; точки — сжимаемый газ

Для сравнения границ потери устойчивости оболочек при симметричных и несимметричных граничных условиях исследовалось влияние статического давления на динамические характеристики рассматриваемой системы. На рис. 3 показано поведение оболочек при различных граничных условиях. Видно, что форма потери устойчивости зависит от направления действия давления.

Как отмечено выше, для консольного способа закрепления оболочки имеет место потеря устойчивости в виде флаттера с одной степенью свободы, а аэродинамическое демпфирование наблюдается при $\Lambda > 0$. Кроме того, в [14] обнаружено, что для первой формы колебаний при $\omega_1 = 0$ имеют место два значения $\omega_2 > 0$. Выполненные при $P = 3,1 \cdot 10^{-6}$ расчеты подтверждают необычное динамическое поведение системы оболочка — жидкость (рис. 4). Указанная особенность сохраняется при других значениях давления, а также в его отсутствие.

Расчеты, выполненные для консольно закрепленной оболочки, показывают, что характер потери устойчивости существенно зависит от статического давления и направления его действия (рис. 5). В данной задаче оценивалось влияние сжимаемости газа ($c/U_0 = 0,0651$) на положение и форму границы потери устойчивости, которое, как показали расчеты, может быть как стабилизирующим, так и дестабилизирующим. При этом в случае критических номеров гармоник сжимаемость газа оказывает только дестабилизирующее влияние. Следует отметить, что наиболее существенное различие результатов, полученных с учетом и без учета сжимаемости, имеет место только при высоких скоростях потока газа ($M \gtrsim 1$).

Заключение. Представлена математическая постановка задачи о динамическом поведении предварительно нагруженных оболочек вращения, содержащих неподвижную или текущую сжимаемую жидкость, а также конечно-элементный алгоритм ее численной реализации. Достоверность алгоритма подтверждается рядом примеров. Выполнена серия расчетов, в которых исследовано влияние граничных условий, статического давления и сжимаемости газа на динамическое поведение моделируемых систем. Получен ряд новых данных о характере потери устойчивости оболочек, взаимодействующих с внутренним потоком жидкости (газа).

ЛИТЕРАТУРА

1. **Paidoussis M. P., Li G. X.** Pipes conveying fluid: a model dynamical problem // J. Fluids Struct. 1993. V. 7, N 2. P. 137–204.
2. **Weaver D. S., Unny T. E.** On the dynamic stability of fluid conveying pipes // J. Appl. Mech. 1973. V. 40. P. 48–52.
3. **Paidoussis M. P., Denise J.-P.** Flutter of thin cylindrical shells conveying fluid // J. Sound Vibr. 1972. V. 20, N 1. P. 9–26.
4. **Kochupillai J., Ganesan N., Padmanabhan C.** A semi-analytical coupled finite element formulation for shells conveying fluids // Comput. Struct. 2002. V. 80. P. 271–286.
5. **Zhang Y. L., Gorman D. G., Reese J. M.** Vibration of prestressed thin cylindrical shells conveying fluid // Thin-Walled Struct. 2003. V. 41. P. 1103–1127.
6. **Zhang Y. L., Reese J. M., Gorman D. G.** Finite element analysis of the vibratory characteristics of cylindrical shells conveying fluid // Comput. Methods Appl. Mech. Engng. 2002. V. 191. P. 5207–5231.
7. **Ванин Г. А.** Устойчивость оболочек из армированных материалов / Г. А. Ванин, Н. П. Семенов, Р. Ф. Емельянов. Киев: Наук. думка, 1978.
8. **Вольмир А. С.** Оболочки в потоке жидкости и газа. Задачи гидроупругости. М.: Наука, 1979.
9. **Бочкарев С. А.** Конечно-элементный анализ динамического поведения цилиндрической оболочки с протекающей жидкостью // Вычислительная механика: Сб. науч. тр. Пермь: Изд-во Перм. гос. техн. ун-та, 2006. Вып. 5. С. 9–20.
10. **Жидков И. П.** Методы вычислений / И. П. Жидков, Н. С. Березин. М.: Наука, 1966. Т. 1.
11. **Григорьев В. Г.** Методология исследования динамических свойств сложных упругих и гидроупругих систем: Дис. ... д-ра техн. наук. М., 2000.
12. **Горбунов Ю. А., Новохатская Л. М., Шмаков В. П.** Теоретическое и экспериментальное исследование спектра собственных неосесимметричных колебаний конической оболочки с жидкостью при наличии внутреннего давления // Динамика упругих и твердых тел, взаимодействующих с жидкостью. Томск: Изд-во Том. гос. ун-та, 1975. С. 47–52.
13. **Paidoussis M. P., Mateescu A. D.** Dynamics of cylindrical shell containing fluid flows with a developing boundary layer // AIAA J. 1987. V. 25. P. 857–863.
14. **Горачек Я., Золотарев И.** Влияние закрепления краев цилиндрической оболочки с протекающей жидкостью на ее динамические характеристики // Прикл. механика. 1984. Т. 20, № 8. С. 88–98.
15. **Paidoussis M. P.** Some unresolved issues in fluid-structure interactions // J. Fluids Struct. 2005. V. 20, N 6. P. 871–890.

Поступила в редакцию 17/IV 2007 г.